

# FreeFem++ Tutorials

Байкин А.Н.

21 декабря 2020 г.

## 1. Задачи теории упругости

### 1.1. Простейший расчет раскрытия трещины в упругой среде

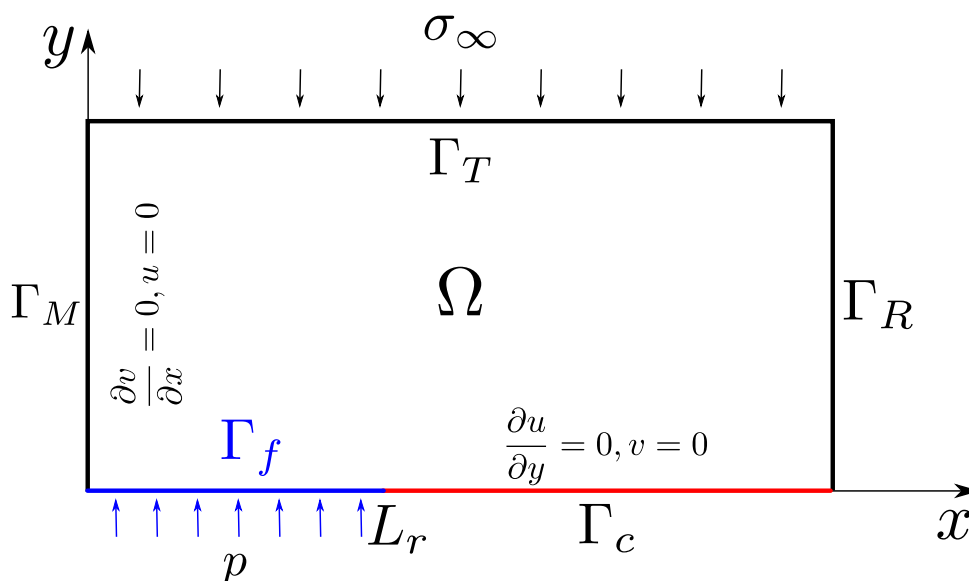


Рис. 1: Трещина

Рассмотрим задачу об определении раскрытия гидравлической трещины фиксированной длины под действием заданного давления (Рис. 1) в условиях плоской деформации.

Определяющие уравнения упругости в области  $\Omega$  записываются в виде

$$\operatorname{div} \boldsymbol{\sigma} = -f_v, \quad \boldsymbol{\sigma} = \lambda \operatorname{div} \mathbf{u} \mathbf{I} + 2\mu \mathcal{E}(\mathbf{u}), \quad (1)$$

где тензор малых деформаций задается выражением

$$\mathcal{E}(\mathbf{u})_{ij} = \frac{1}{2} \left( \frac{\partial u_i}{\partial x_j} + \frac{\partial u_j}{\partial x_i} \right), \quad i, j = 1, 2, 3, \quad (2)$$

$\mathbf{u}$  — вектор перемещений,  $\lambda, \mu$  — коэффициенты Ламе.

Предполагается, что трещина раскрывается под действием сил давления

$$\Gamma_f : \quad \boldsymbol{\sigma} \langle \mathbf{n} \rangle = -p \mathbf{n}. \quad (3)$$

В то же время на границе  $\Gamma_T$  этому противостоит сжимающее напряжение

$$\Gamma_T : \quad \boldsymbol{\sigma} \langle \mathbf{n} \rangle = -\sigma_\infty \mathbf{n}, \quad (\boldsymbol{\sigma} \langle \mathbf{n} \rangle)_i = \sigma_{ij} n_j, \quad i = 1, 2, \quad (4)$$

на  $\Gamma_R$  напряжения отсутствуют:

$$\Gamma_R : \quad \boldsymbol{\sigma} \langle \mathbf{n} \rangle = 0. \quad (5)$$

На  $\Gamma_M$  и  $\Gamma_C$  заданы условия симметрии

$$\Gamma_C : \quad v = 0, \quad \frac{\partial u}{\partial y} = 0, \quad (6)$$

$$\Gamma_M : \quad u = 0, \quad \frac{\partial v}{\partial x} = 0. \quad (7)$$

В качестве тестовой функции выберем  $\boldsymbol{\psi}$  такую, что  $\psi_1 = 0$  на  $\Gamma_M$ , а  $\psi_2 = 0$  на  $\Gamma_C$ . Тогда используя формулу

$$\int_{\Omega} -\operatorname{div}(\boldsymbol{\sigma}(\mathbf{u})) \cdot \boldsymbol{\psi} \, dxdy = \int_{\Omega} \boldsymbol{\sigma}(\mathbf{u}) : \mathcal{E}(\boldsymbol{\psi}) \, dxdy - \int_{\partial\Omega} \boldsymbol{\psi} \cdot \boldsymbol{\sigma} \langle \mathbf{n} \rangle \, ds \quad (8)$$

получим с учетом граничных условий

$$\int_{\Omega} \boldsymbol{\sigma}(\mathbf{u}) : \mathcal{E}(\boldsymbol{\psi}) \, dxdy + \int_{\Gamma_T} \sigma_\infty \psi_2 \, ds - \int_{\Gamma_f} p \psi_2 \, ds = 0. \quad (9)$$

## 1.2. Точное решение

Точное решение для полураскрытия трещины в рассмотренной задаче задается формулой

$$v = 2 \frac{p - \sigma_0}{E'} \sqrt{L_r^2 - x^2}, \quad E' = \frac{E}{1 - \nu^2}. \quad (10)$$

### 1.3. Задания

**Задача 1.** На паре мы рассмотрели решение, когда трещина имеет фиксированную длину  $L_r$ . В механике разрушения длина трещины определяется из условия равенства высвободившейся упругой энергии и энергии, которую нужно потратить на разрушение породы. В конечных элементах это легче всего реализуется с помощью задания так называемых напряжений сцепления  $\sigma_{coh}$  (Рис. 2), работа которых равна энергии разрушения. Эти напряжения действуют вблизи кончика трещины и пытаются по сути склеить вместе противоположные берега трещины. Подробности будут в следующем семестре на курсе по ГРП.

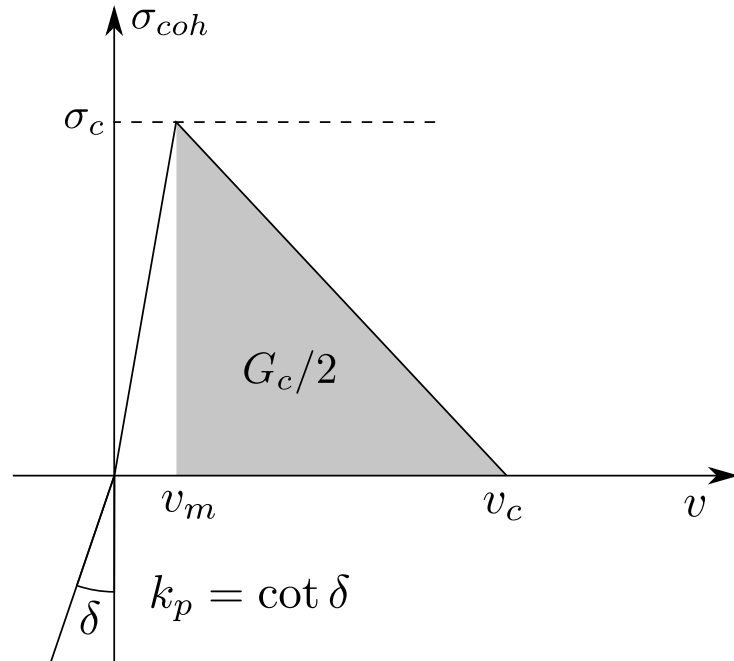


Рис. 2: Распределение напряжений сцепления

Задача остается в принципе почти такой же, что в делали на паре (см. Рис. 3), но усложнится и станет нелинейным условие на  $\Gamma_f$ :

$$\Gamma_f : \quad \boldsymbol{\sigma} \langle \mathbf{n} \rangle = -p \chi_{x < L_p}(\mathbf{x}) \mathbf{n} + \sigma_{coh}(v) \mathbf{n}. \quad (11)$$

Здесь  $\chi_{x < L_p}(\mathbf{x})$  — функция индикатор множества  $\{\mathbf{x} : x < L_p\}$ ,  $L_p = 10$  м — размер зоны действия давления,  $L_r = 30$  м,  $p = 2$  МПа.

На внешних границах  $\Gamma_T$  и  $\Gamma_R$  напряжения отсутствуют. На  $\Gamma_C$  и  $\Gamma_M$  условия симметрии.

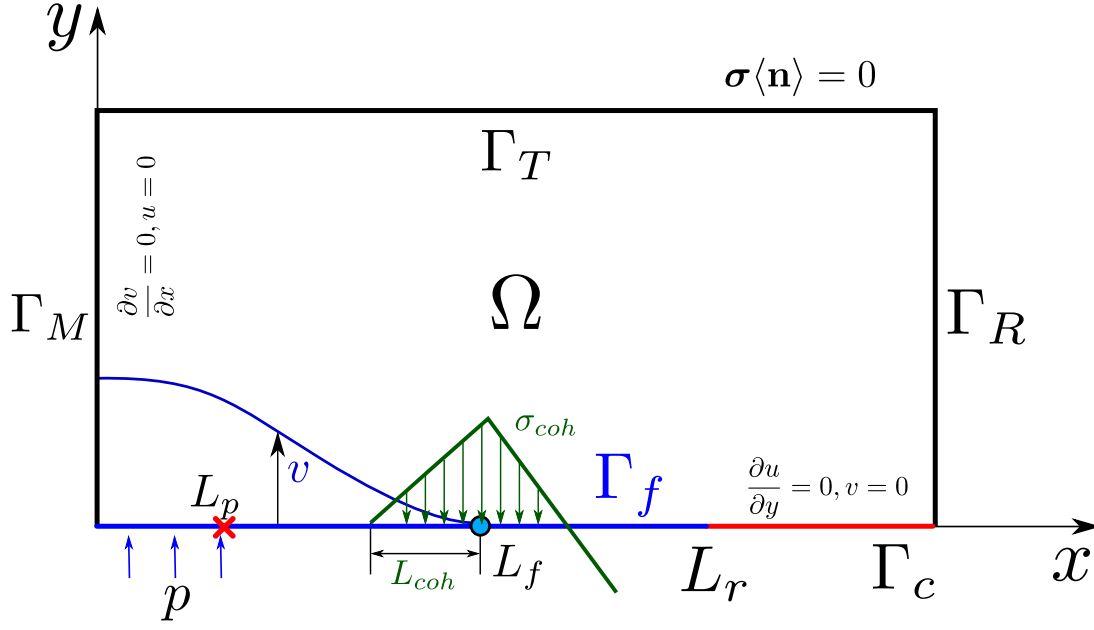


Рис. 3: Трещина с учетом сил сцепления

$$\sigma_{coh}(w) = \begin{cases} k_p v, & v < 0, \\ \sigma_c \frac{v}{v_m}, & 0 \leq v \leq v_m, \\ \sigma_c \left( \frac{v_c - v}{v_c - v_m} \right), & v_m \leq v \leq v_c, \\ 0, & v \geq v_c, \end{cases} \quad (12)$$

где  $\sigma_c$  максимальное напряжение сцепления,  $k_p = 10^4 E$  — параметр штрафа,  $E$  — модуль Юнга,  $v_c = G_c / \sigma_c$ ,  $G_c = 1200$  Па·м энергия разрушения,  $v_m = \varkappa v_c$  параметр регуляризации  $\varkappa = 5 \times 10^{-4}$ . Модули упругости взять  $\mu = 10$  ГПа,  $\lambda = 20$  ГПа.

Напряжение  $\sigma_c$  — свободный параметр - его нужно подогнать так, чтобы длина зоны действия сил сцепления  $L_{coh} = EG_c / \sigma_c^2$  была порядка 1 м, но и густота сетки была достаточной, чтобы уместилось хотя бы 10-20 ребер.

Условия (12) надо линеаризовать. Проверку выполнения условий можно делать используя значения  $v$  на предыдущей нелинейной итерации.

Задача:

- построить распараллеленный (минимум 2 mri-процесса, с помощью PETSc) решатель нелинейной задачи с контролем относительной ошиб-

ки.

- При подсчете ошибки после того как вы посчитаете интеграл от квадрата разности `nonLinearErrorSquaredPerProc` на каждом процессоре вам надо результаты просуммировать (по свойству адитивности интеграла) с помощью команды

```
mpiAllReduce( nonLinearErrorSquaredPerProc, nonLinearErrorSquared,  
mpiCommWorld, mpiSUM);
```

которая запишет результат в `nonLinearErrorSquared` на все процессоры. Аналогично надо посчитать интеграл от квадрата решения и только после этого считать относительную ошибку. Результаты всех нелинейных итераций вывести в Paraview

- В Paraview с помощью фильтра Group Datasets сгруппировать решения с разных процессов. Через PlotOverLine построить полураскрытие трещины, сохранить результаты на нескольких характерных итерациях в отдельный CSV файл (см. <https://youtu.be/00h0XiS8Bwk>)
- считать раскрытие в Matlab/Python, вывести на нескольких итерациях, чтобы показать, что решение сходится, сравнить с точным решением
- Измерить время выполнения программы с помощью команды `mpiWtime()` при количестве mpi-процессов 1,2,4. Сделать выводы

### Точное решение

В линейной механике разрушения точное решение получается из условия  $K_I = K_{IC} = \sqrt{G_c E'}$ ,  $E' = \frac{E}{1 - \nu^2}$ :

$$K_I \equiv 2\sqrt{\frac{L_f}{\pi}} \int_0^{L_f} \frac{p(\xi)}{\sqrt{L_f^2 - \xi^2}} d\xi = 2\sqrt{\frac{L_f}{\pi}} p \arctan \frac{L_p}{\sqrt{L_f^2 - L_p^2}} = K_{IC} \quad (13)$$

Для решения этого уравнения можете использовать <https://www.wolframalpha.com/> или Wolfram Mathematica для нахождения  $L_f$ . После этого можно посчитать полураскрытие трещины

$$v(x) = \frac{2}{\pi E'} p F(x, L_p, L_f), \quad (14)$$

$$F(x, \xi, L_f) = \begin{cases} 2 \left( \sqrt{L_f^2 - x^2} \arcsin\left(\frac{\xi}{L_f}\right) + \xi \operatorname{arctanh} \sqrt{\frac{L_f^2 - \xi^2}{L_f^2 - x^2}} \right) - \\ - 2 \left( x \operatorname{arctanh} \frac{x}{\xi} \sqrt{\frac{L_f^2 - \xi^2}{L_f^2 - x^2}} \right), & x < \xi, \\ 2 \left( \sqrt{L_f^2 - x^2} \arcsin\left(\frac{\xi}{L_f}\right) + \xi \operatorname{arctanh} \sqrt{\frac{L_f^2 - x^2}{L_f^2 - \xi^2}} \right) - \\ - 2 \left( x \operatorname{arctanh} \frac{\xi}{x} \sqrt{\frac{L_f^2 - x^2}{L_f^2 - \xi^2}} \right), & x > \xi, \\ 2 \sqrt{L_f^2 - x^2} \arcsin\left(\frac{x}{L_f}\right) + 2x \log \frac{L_f}{x}, & x = \xi, \\ \pi \sqrt{L_f^2 - x^2}, & \xi = L_f, \\ 0, & \text{иначе.} \end{cases} \quad (15)$$